

2024年度(R06年度)

地下水盆管理学

福島大学 共生システム理工学類

地球環境コース

柴崎 直明

1

8. 地下水障害(地盤沈下)



枯渴した湧水(喜多方キャンプ清水)

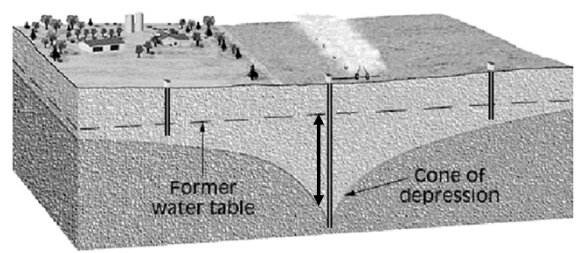
地下水障害とは何か？

地下水位の異常な変動に起因して発生する、地下水利用や社会生活に不都合を及ぼす障害のこと

地下水障害の例

地下水位の異常低下、地盤沈下、地下水の塩水化、水質悪化など

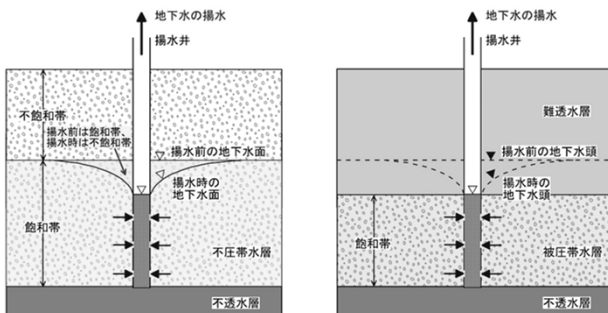
水位降下量(Drawdown)



水位降下量 = (静水位) - (動水位)

Static water level Dynamic water level

不圧帯水層と被圧帯水層からの揚水

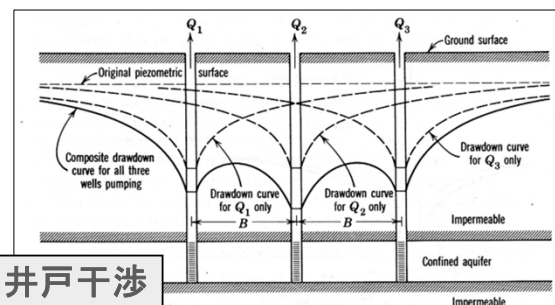


不圧帯水層からの揚水

被圧帯水層からの揚水

(柴崎原図, 2023)

複数の井戸からの揚水



井戸干渉

Fig. 4.27 Individual and composite drawdown curves for three wells in a line.

【Todd, D. K. (1980): "Groundwater Hydrology 2nd Ed."より】

地下水位変動の主な要因(1)

人為的要因

- 大量揚水
- かんがい
- 土地利用の変化
- 地下構造物
- トンネルや地下掘削
- 河川改修, など

地下水位変動の主な要因(2)

自然的要因

- 降水
- 気圧
- 潮汐
- 地震
- 河川の水位, など

地下水位異常変動の要因

- ⇔地下水開発それ自体によるもの
- ⇔土木工事など他の原因によるもの
- ⇔干ばつによる地下水枯渇

地下水障害の分類

- ⇔地下水位の低下で直接起こる障害
- ⇔地下水位の低下が他の現象を誘発して生じる障害
- ⇔地下水位の上昇による障害
- ⇔地下水位の変化を伴わない障害

地下水位の低下で 直接生じる障害

- ◆自噴停止
- ◆井戸の枯渇, 揚水不能
- ◆揚水量の減少
- ◆井戸の相互干渉
- ◆湧水の枯渇, 湧出量の減少
- ◆その他

地下水位の低下が他の現象を 誘発して生じる障害

- ◆地盤沈下
- ◆地下水塩水化
- ◆酸欠空気の発生
- ◆地下水水質の悪化
- ◆地下水酸性化による鉄管の腐食
- ◆その他

地下水位の著しい 上昇で生じる障害

- ◆浮力による構造物の不安定化
- ◆塩類集積や塩害の促進
- ◆地盤液状化の促進
- ◆排水不良
- ◆作物の湿害
- ◆その他

地下水位の変化を 伴わない障害

- ◆地下水汚染
- ◆地層汚染
- ◆その他

地盤沈下



東京都江東区の
抜け上がった井戸
(「日本の平野」平凡社より)

東京下町の地盤沈下の歴史



鉄管のしるしが、
当時の地面
(「日本の平野」平凡社より)

ビルの基礎の抜け上がり(1)



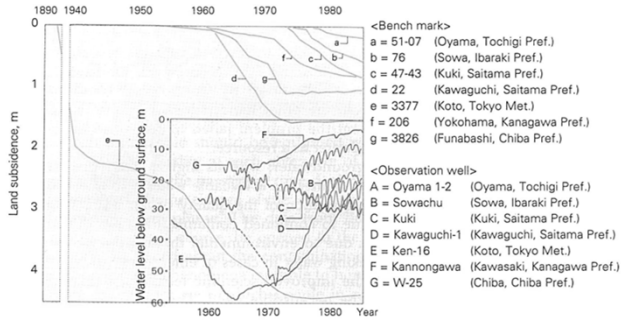
1階の床が、道路面より高くなっている
(「日本の平野」平凡社より)

ビルの基礎の抜け上がり(2)



完成後1年で、団地の入り口に16cmの落差
(「日本の平野」平凡社より)

関東平野における地盤沈下の歴史



(「Environmental Management of Groundwater Basins」
東海大学出版会より)

東京のゼロメートル(0m)地帯



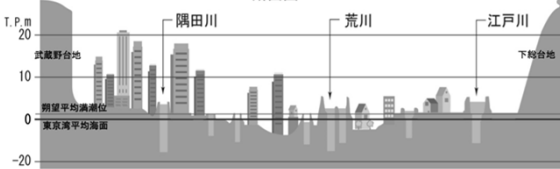
東京のゼロメートル地帯の状況

首都圏に広がるゼロメートル地帯



荒川の堤防
(東京都板橋区舟橋二丁目) 河口から約25km

断面図



ゼロメートル地帯の河川水位と地盤



東京低地の地盤沈下の状況



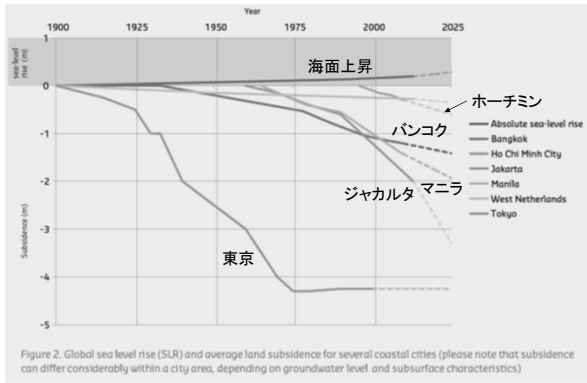
- ← 堤防の高さ
- ← 過去最高水位 (1917年の台風による高潮)
- ← 1918年当時の地表面
- ← 満潮時海面
- ← 平均海面
- ← 干潮時海面

日本各地の地盤沈下の推移



環境省水・大気環境局(2023)による 24

世界各都市の地盤沈下



(Deltares, 2015)

世界最大の地盤沈下

San Joaquin Valley
southwest of
Mendota, California

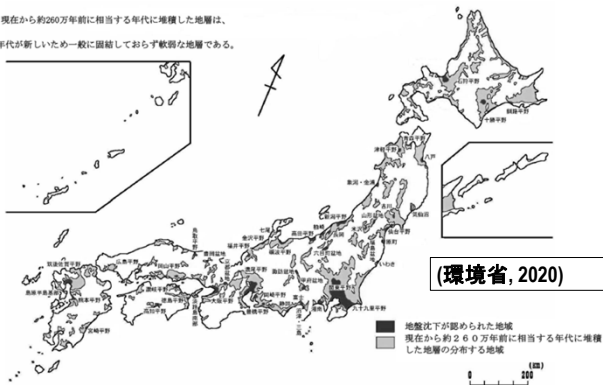
1925~1977年で9 m



(USGS, 2016)

日本の地盤沈下地域

(注) 現在から約260万年前に相当する年代に堆積した地層は、年代が新しいため一般に固結しておらず軟弱な地層である。



(環境省, 2020)

図8 全国の地盤沈下地域

27

過去および現在の地盤沈下



(環境省, 2020)

◎ 令和2年度に地盤沈下の測定のための水準測量が実施された地域(28地域)
○ 上記以外で、これまでに地盤沈下が観測された地域(36地域)
※ 表中の数値は令和2年度単年の最大沈下量であるが、毎年継続して水準測量を実施していない一部の地域は、前回の水準測量実施年度から令和2年度までの沈下量を年度平均して算出した数値としている。

28

過去5年間の地盤沈下



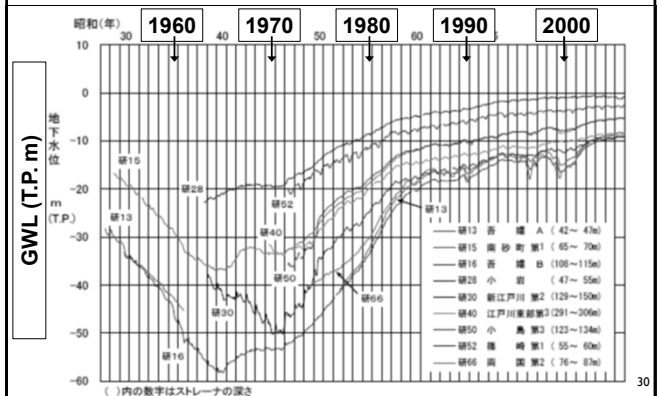
(環境省, 2020)

◎ 直近5年間(平成28年度~令和2年度)に地盤沈下測定のための水準測量が1回以上実施された地域(42地域)
○ 上記以外で、これまでに地盤沈下が観測された地域(22地域)
※ 直近5年間の累積沈下量は、直近の測量が平成28年度から令和2年度の間に実施されている地域の、当該直近測量年度から遡る過去5年間の最大累積沈下量としている。

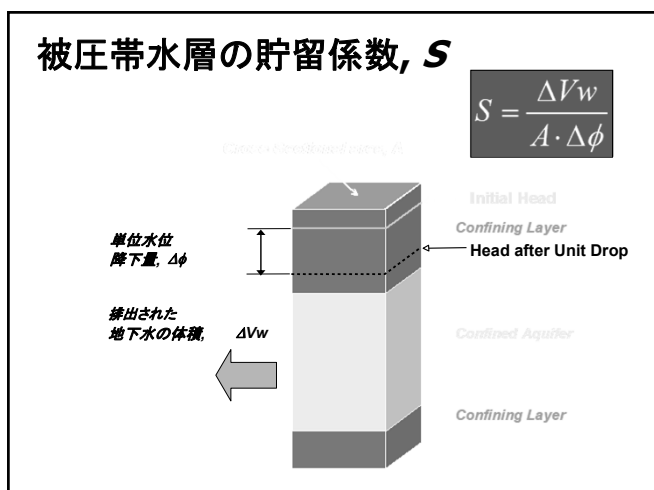
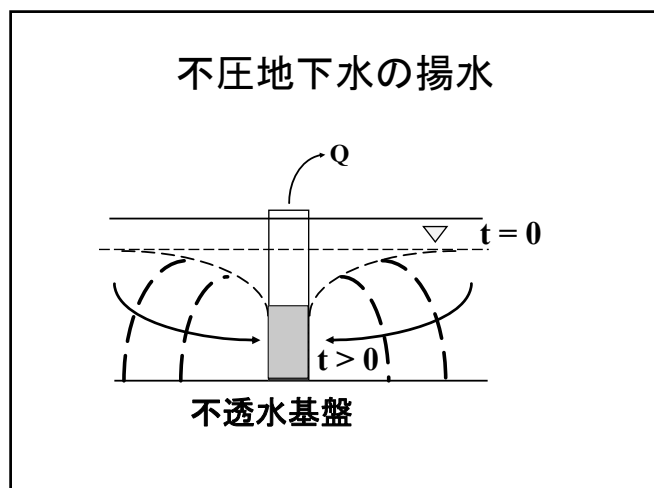
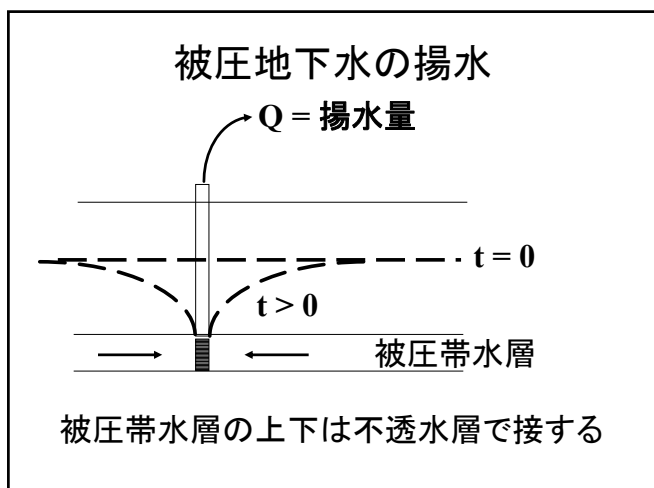
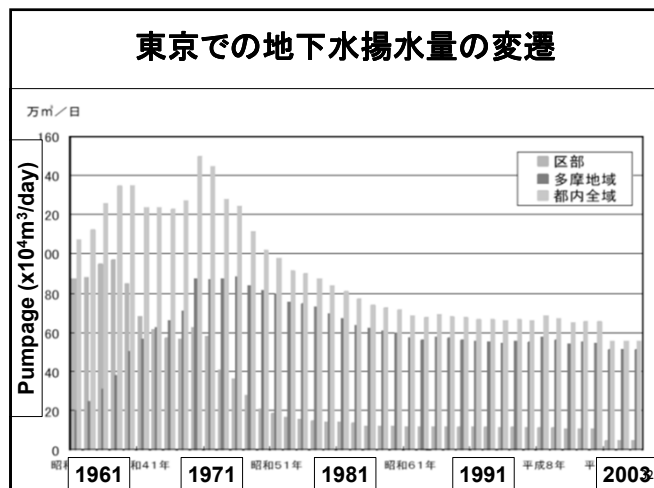
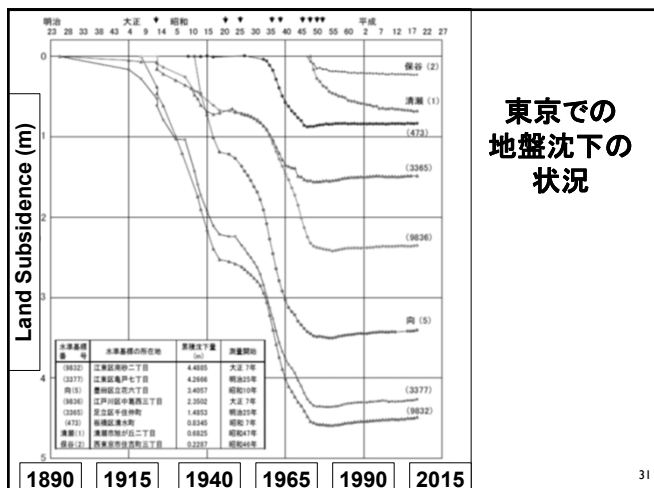
図2 直近5年間の累積沈下量 (cm) ※

29

東京での地下水位の状況



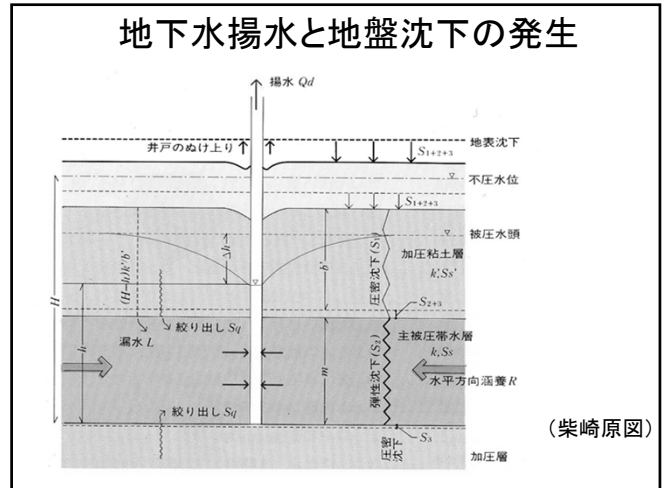
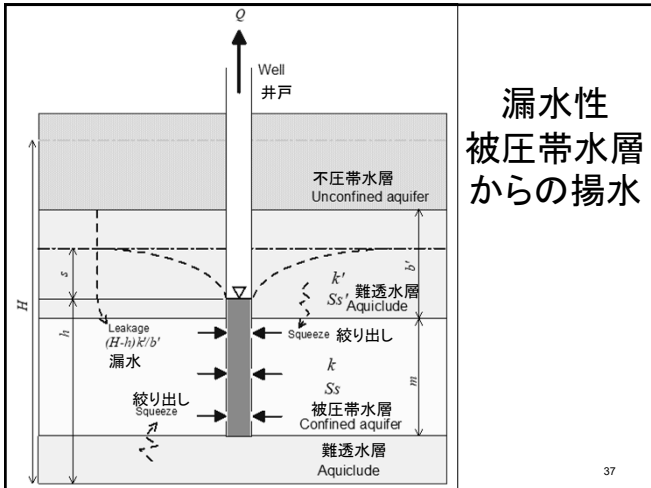
30



なぜ、地盤沈下は発生するのか？

簡単にいうと、
 地下水位低下による軟弱粘土層の収縮

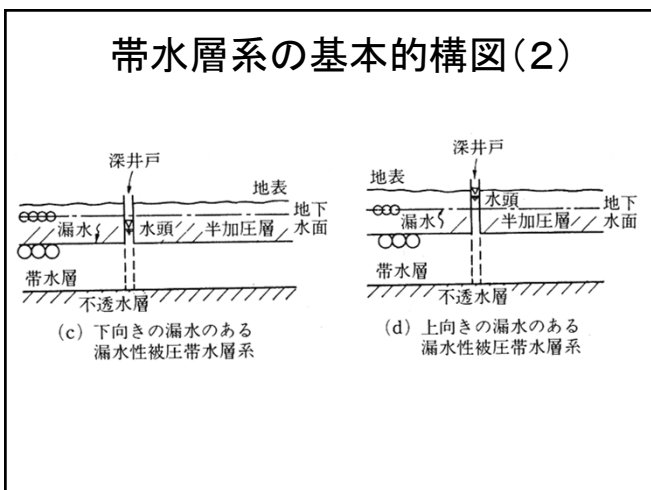
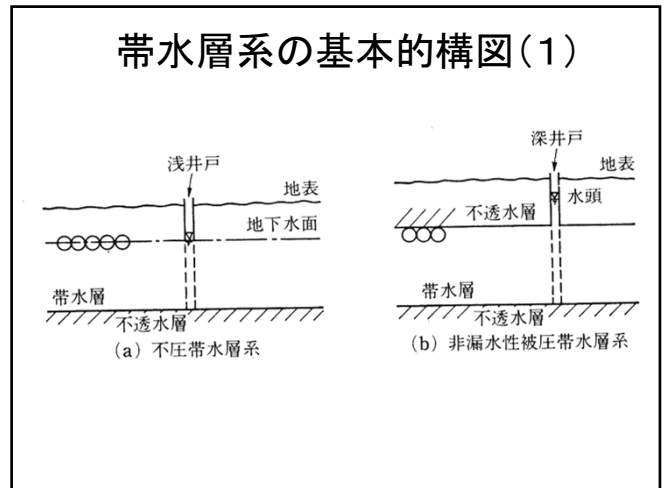
やや詳しくいうと、
 主被圧帯水層からの揚水により水頭低下が起こり、隣接する加圧層(粘土層)から間隙水の絞り出し現象が発生して、加圧層が圧密収縮する。



漏水 (Leakage) とは？

地下水が、帯水層間にある難透水層を通して垂直方向に浸透する現象のこと

上下の帯水層内の水位 (水頭) に差がある場合に生じる



漏水速度と漏水係数

帯水層の上位に半加压層がある場合、ダルシーの法則より、漏水速度は、

$$\frac{Q_c}{A_c} = \frac{k'}{b'}(H - h)$$

Q_c : 漏水量、 A_c : 関係面積、 k' : 半加压層の透水係数、 b' : 半加压層の層厚、 H : 不圧地下水水位の高さ、 h : 被圧地下水頭の高さ

k'/b' : 漏水係数 (半加压層固有の値)

絞り出し現象とは？

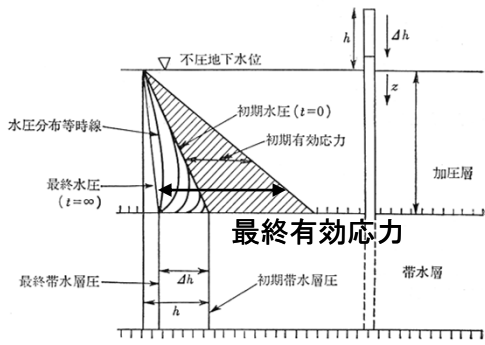
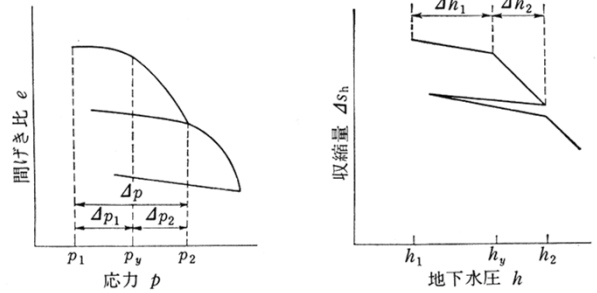


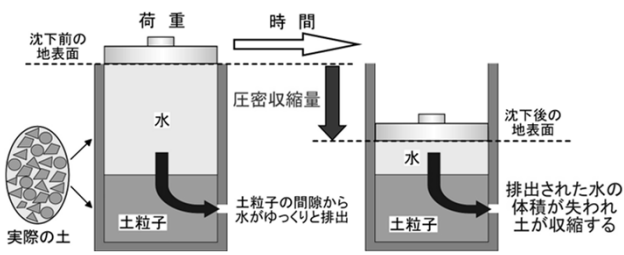
図 4.12 絞り出し現象の説明 (Domenico¹¹⁾ による)

圧密と地層の収縮



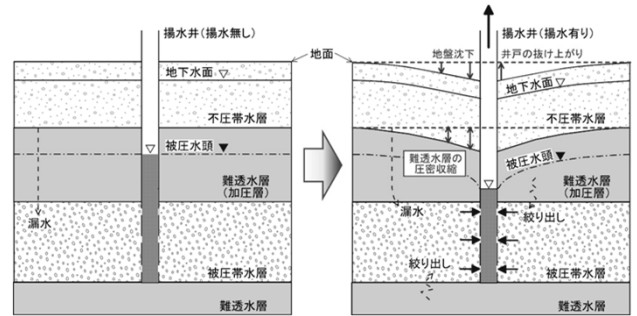
間隙比 = 間隙の容積 / 土粒子の体積

圧密収縮の説明



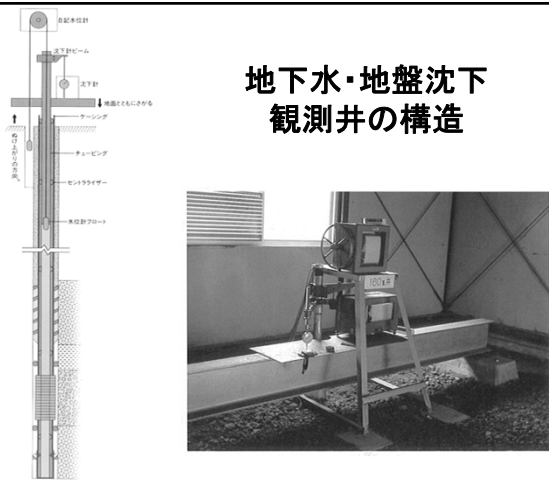
(柴崎原図, 2023)

地盤沈下の発生メカニズム



(柴崎原図, 2023)

地下水・地盤沈下観測井の構造



地盤沈下の観測例

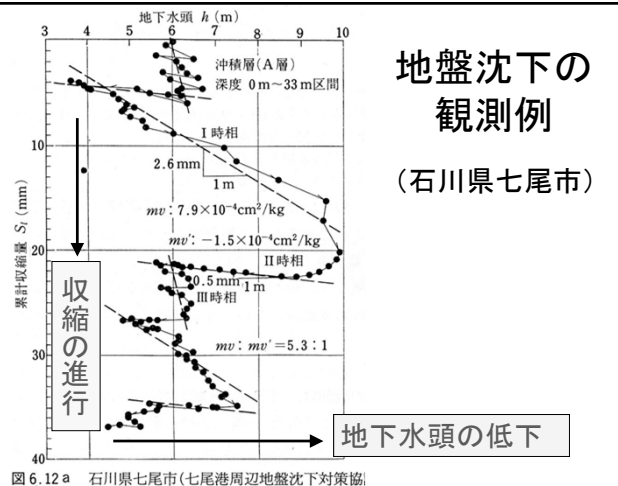
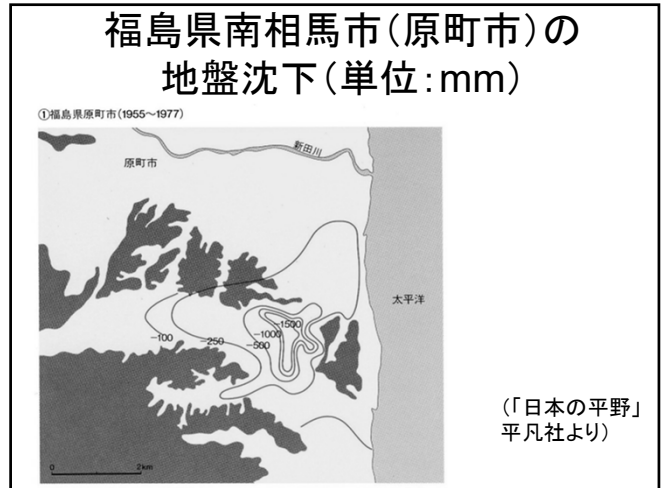
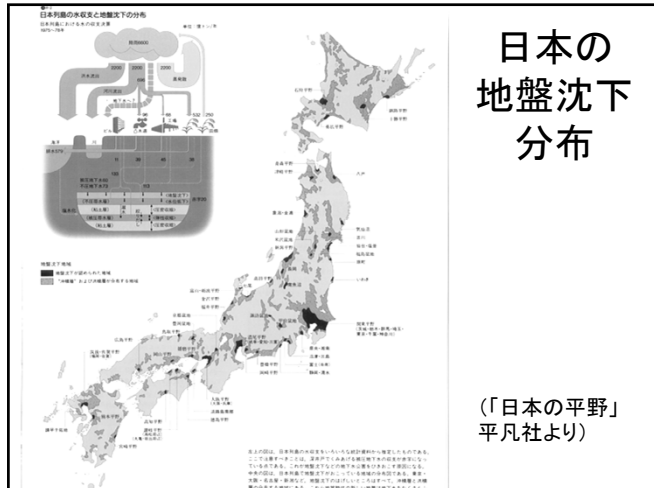


図 6.12 a 石川県七尾市(七尾港周辺地盤沈下対策協)

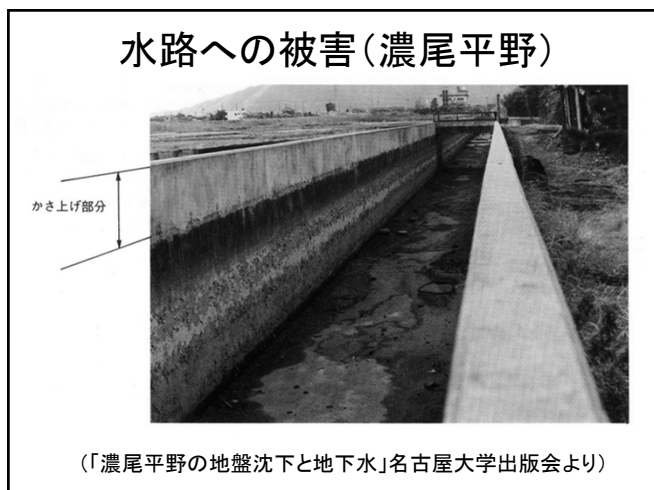


地盤沈下の被害

農業分野:
田畑の不等沈下、水路の破損・機能低下、揚排水機場の破損・機能低下など

インフラ:
道路・鉄道・水道施設等の破損、建物の抜け上がりなど

防災分野:
高潮・洪水災害の拡大、構造物の不安定化など



アジア各地での地盤沈下



55

2021年3月3日のYAHOOニュース記事

YAHOO! JAPAN ニュース 10でもっと便利に新規取得 ログイン 会員登録

キーワードを入力

トップ 産報 ライブ 個人 オリジナル みんなの意見 ランキング

主要 国内 国際 経済 エンタメ スポーツ IT 科学 ライフ 地域

世界中で進む地盤沈下は、「世界人口の5分の1」に影響する：研究結果

3/2(水) 12:20 配信 23

WIRED

米国のカリフォルニア州では、20世紀に経済が飛躍的な発展を遂げた。ところが、逆に地盤は沈下が加速している。農業が著しく成長したサンホアキン・ヴァレーでは、過酷な干ばつに襲われたことで地中の帯水層から水が過剰に汲み出され、おかげで帯水層が干涸びてしまったのだ。まるで空っぽになった巨大なペットボトルが、つぶれるかのようである。

インドネシアの首都ジャカルタでは、年間約25cmもの地盤沈下が起きている。

気候変動で「ヒートアイランド現象」が深刻化し、都市部の暑さが加速する

地下水揚水量の多い国Top15 (2010年)

Country	Population 2010 (in thousands)	Estimated groundwater extraction 2010 (km ³ /yr)	Groundwater extraction Breakdown by sector			
			Groundwater extraction for irrigation (%)	Groundwater extraction for domestic use (%)	Groundwater extraction for industry (%)	
インド	India	1224614	251.00	89	9	2
中国	China	1341335	111.95	54	20	26
米国	United States	310384	111.70	71	23	6
パキスタン	Pakistan	173593	64.82	94	6	0
イラン	Iran	73974	63.40	87	11	2
バングラデシュ	Bangladesh	148692	30.21	86	13	1
メキシコ	Mexico	113423	29.45	72	22	6
サウジアラビア	Saudi Arabia	27448	24.24	92	5	3
インドネシア	Indonesia	239871	14.93	2	93	5
トルコ	Turkey	72752	13.22	60	32	8
ロシア	Russia	142985	11.62	3	79	18
シリア	Syria	20411	11.29	90	5	5
日本	Japan	126536	10.94	23	29	48
タイ	Thailand	69122	10.74	14	60	26
イタリア	Italy	60551	10.40	67	23	10

(Margat and van der Gun, 2013)

YAHOOのニュース記事のもとになった『Science』2021年1月の記事 (Herrera et al., 2021)

INSIGHTS

POLICY FORUM

GEOSCIENCE

Mapping the global threat of land subsidence

Nineteen percent of the global population may face a high probability of subsidence

By Gerardo Herrera-García, Pablo Ezquerro, Roberto Tomás, María Béjar-Pizarro, Juan López-Vinuales, Mauro Rossi, Rosa M. Mateos, Dora Carreón-Freyre, John Lambert, Pietro Teatini, Enrique Cabral-Cano, Gilles Erkens, Devin Galloway, Wei-Chia Hung, Najeebullah Kakar, Michelle Sneed, Luigi Tosi, Hanmei Wang, Shujun Ye

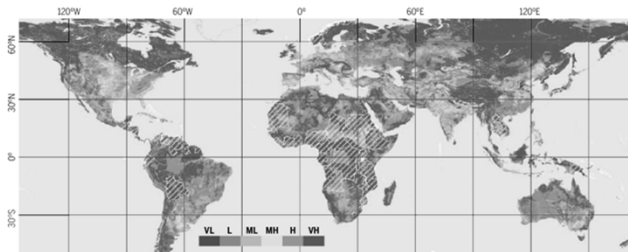
cas susceptible to flooding. In coastal zones, the combined effects of absolute sea-level rise and land subsidence contribute to relative sea-level rise (4). The contribution from

地盤沈下の世界的脅威のマッピング
世界人口の19%が、高い沈下の可能性に直面

地盤沈下のポテンシャルマップ(全世界)

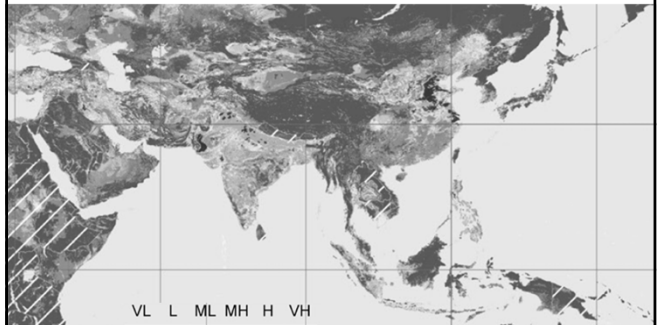
Potential global subsidence

The color scale indicates the probability intervals classified from very low (VL) to very high (VH), for every 30-arcsec resolution pixel (1 km by 1 km at the Equator). The white hatched polygons indicate countries where groundwater data is unavailable, and the potential subsidence only includes information on the susceptibility. See maps of other regions in supplementary materials.



(Herrera et al., 2021)

地盤沈下のポテンシャルマップ (2040年, アジア)



(Herrera et al., 2021)

参考文献

水収支研究グループ編
「地下水資源・環境論－その理論と実践－」
共立出版、1993年